

## ОСОБЕННОСТИ ИСПОЛЬЗОВАНИЯ РАЗЛИЧНЫХ МАТЕМАТИЧЕСКИХ МОДЕЛЕЙ ДЛЯ ИССЛЕДОВАНИЙ ПРОЦЕССА КОЛЕБАНИЙ ШТАНГИ ПОЛЕВОГО ОПРЫСКИВАТЕЛЯ

**Ю.В. Чигарев,**

*профессор Западнопоморского технологического университета (Респ. Польша),  
профессор, каф. теоретической механики и теории механизмов и машин БГАТУ, докт. ф.-м. наук, профессор*

**И.С. Крук,**

*декан факультета механизации БГАТУ, канд. техн. наук, доцент*

**В. Романюк,**

*профессор Технологического природоведческого института в Фалентах (Респ. Польша),  
докт. техн. наук, профессор*

**Я. Р. Каминьский,**

*профессор Варшавского университета естественных наук (Респ. Польша), докт. техн. наук, доцент*

**А.С. Воробей,**

*ст. науч. сотр. РУП «НПЦ НАН Беларуси по механизации сельского хозяйства», канд. техн. наук*

**Ф.И. Назаров,**

*аспирант каф. теоретической механики и теории механизмов и машин БГАТУ*

**Д.Р. Мальцев,**

*магистрант каф. теоретической механики и теории механизмов и машин БГАТУ*

*В статье приведен обзор математических моделей, которые могут быть использованы при описании колебательных процессов штанги сельскохозяйственного опрыскивателя, возникающих при его работе.*

*Ключевые слова: опрыскиватель, штанга, колебания, амплитуда, уравнение.*

*The article deals with an overview of mathematical models that can be used when describing oscillatory processes agricultural boom sprayer, arising from its work.*

*Keywords: sprayer boom, vibration amplitude equation.*

### Введение

Несущая конструкция штанги опрыскивателя связана с корпусом машины таким образом, что деформации ее точек зависят от неровности поля, ветрового потока и равномерности скорости потока жидкости внутри трубопроводов. В зависимости от учета данных условий, колебания штанги могут описываться различными математическими моделями [1-4]. Рассмотрим некоторые из них.

### Основная часть

1. Свободные колебания штанги могут возникнуть на ровной поверхности участков поля и при отсутствии других возмущающих факторов.

Рассмотрим поперечные колебания штанги, предполагая, что длина штанги намного больше размеров ее поперечного сечения и движение происходит в одной плоскости, т.е. все точки штанги движутся перпендикулярно оси  $Ox$ . Очевидно, что на практике данные коле-

бания будут малы. Тогда смещения точек  $u(x,t)$  и их производные будут столь малы, что их квадратами и произведениями можно пренебречь. При этом можно считать, что упругие силы сжатия (растяжения) точек и штанги велики. Если в начальный момент штанга занимала горизонтальное положение и находилась в недеформируемом состоянии (положение точек  $x_1, x_2$ , рис. 1), то в процессе малых колебаний данный участок штанги деформируется в участок  $B_1, B_2$ , длина которого определится из уравнения [5]

$$L = \int_{x_1}^{x_2} \sqrt{1 + \frac{\partial^2 u}{\partial x^2}} dx.$$

В силу сделанных предположений о малости колебаний имеем:

$$L \approx x_2 - x_1,$$

т.е. штанга фактически не имеет удлинений.

Теперь перейдем к рассмотрению системы сил, действующих на точки  $B_1$  и  $B_2$ . На участок штанги  $B_1$ ,

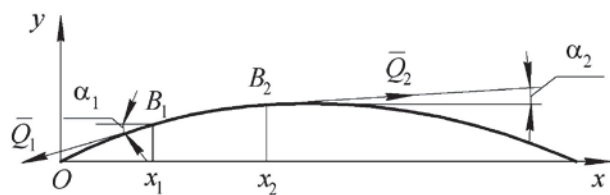


Рисунок 1. Схема растягивающих сил на поверхности штанги

$B_2$  будут действовать силы упругости  $\bar{Q}_1$  и  $\bar{Q}_2$  в точках  $B_1$  и  $B_2$ , а также силы инерции и силы тяжести, которые в случае поперечных колебаний будут направлены параллельно оси  $y$ . Тогда уравнение равновесия, записанное на ось  $Ox$ , будет

$$Q_1 \cos \alpha_1 - Q_2 \cos \alpha_2 = 0,$$

где  $\alpha_1$  и  $\alpha_2$  – углы между силами  $Q_1$  и  $Q_2$  и поверхностью штанги соответственно.

В силу малости углов имеем:

$$\cos \alpha_1 = \frac{1}{\sqrt{1 + \operatorname{tg}^2 \alpha_1}} = \frac{1}{\sqrt{1 + \frac{\partial^2 y}{\partial x^2}}} \approx 1;$$

$$\cos \alpha_2 = \frac{1}{\sqrt{1 + \operatorname{tg}^2 \alpha_2}} = \frac{1}{\sqrt{1 + \frac{\partial^2 y}{\partial x^2}}} \approx 1.$$

Следовательно, при малых колебаниях

$$Q_1 \approx Q_2.$$

Заметим, что сила упругости не зависит от выбора  $x$ . Поэтому колебания точек  $B_1$  и  $B_2$  будут подчиняться одному закону движения, который приближенно можно описать дифференциальным уравнением [1-4]. В общем случае для точек штанги

$$m \frac{d^2 y}{dt^2} + cy = 0,$$

где  $m$  – масса штанги, кг;

$c$  – жесткость системы, н/м.

Данное уравнение можно записать в следующем виде:

$$\frac{d^2 y}{dt^2} + k^2 y = 0, \quad (1)$$

где  $k$  – круговая частота,  $k^2 = \frac{c}{m}$ .

Решение уравнения (1) имеет вид

$$y = C_1 \sin kt + C_2 \cos kt, \quad (2)$$

где  $C_1$  и  $C_2$  – постоянные интегрирования;  $t$  – время, с.

Если принять, что  $C_1 = A \cos \phi_0$ ,  $C_2 = A \sin \phi_0$ , то решение уравнения (1) будет

$$y = A \sin(kt + \phi_0), \quad (3)$$

где  $A$  – амплитуда колебаний;

$\phi_0$  – начальная фаза колебаний.

Скорость в рассматриваемом движении равна

$$v = \dot{y} = Ak \cos(kt + \phi_0). \quad (4)$$

Значения  $A$  и  $\phi_0$  определяются из начальных

условий. Если предположить, что при  $t = 0$ ,  $y = y_0$ ,

$v = v_0$ , то при подстановке их в равенства (3) и (4)

получим

$$y_0 = A \sin \phi_0, \quad (5)$$

$$\frac{v_0}{k} = A \cos \phi_0. \quad (6)$$

Проделав несложные преобразования в равенствах (5) и (6), получим выражения для определения амплитуды и фазы колебаний

$$A = \sqrt{y_0^2 + \frac{v_0^2}{k^2}}, \quad (7)$$

$$\operatorname{tg} \phi_0 = \frac{ky_0}{v_0}. \quad (8)$$

Исключая из выражений (3) и (4) время  $t$ , получаем на фазовой плоскости уравнение эллипса, которое показывает финитный характер движения (рис. 2)

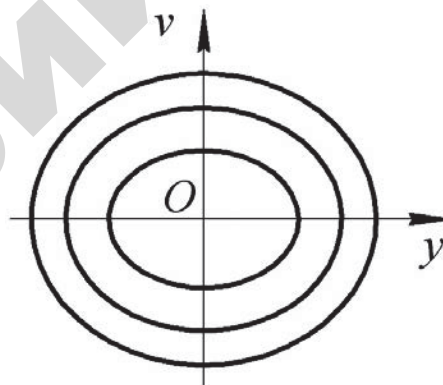


Рисунок 2. Движение точек штанги на фазовой плоскости

$$\left(\frac{y}{A}\right)^2 + \left(\frac{v}{k\phi_0}\right)^2 = 1. \quad (9)$$

Таким образом, колебательный процесс – амплитуда и фаза, задается начальными условиями: начальным отклонением от положения равновесия и начальной скоростью. Свободные колебания в штанге могут возникнуть, например, при переезде границы неровной поверхности поля с ровной уплотненной поверхностью. В этом случае колебания штанги носят устойчивый характер и исключают при данном движении случаи ее поломки.

2. Если конструкция штанги имеет демпфирующие устройства, тогда при отсутствии возмущающих факторов колебания точек штанги можно описать линейным уравнением [1-4]

$$m\ddot{y} + b\dot{y} + cy = 0,$$

или

$$\ddot{y} + 2n\dot{y} + ky = 0, \quad (10)$$

где  $b$  – параметр демпфирования;

$$2n = \frac{b}{m}. \quad (11)$$

Корни характеристического уравнения (10) равны

$$\delta_{1,2} = -n \pm \sqrt{n^2 - k^2}, \quad (12)$$

согласно которым рассмотрим возможные решения.

*Первый случай* (малого сопротивления)

$$n < k; \quad k_1 = \sqrt{k^2 - n^2}; \quad \delta_{1,2} = -n \pm ik_1, \quad (13)$$

где  $k_1$  – круговая частота затухающих колебаний.

Решение имеет вид

$$y(t) = Ae^{-nt} \sin(k_1 t + \phi); \quad (14)$$

$$A = \sqrt{y^2 + \frac{(v_0 + ny_0)^2}{k_1^2}}; \quad (15)$$

$$\operatorname{tg} \phi = \frac{k_1 y_0}{v_0 + ny_0},$$

где  $Ae^{-nt}$  – условная амплитуда затухающих колебаний;

$\phi$  – фазовый угол.

$$T_1 = \frac{2\pi}{k_1}, \quad T = \frac{2\pi}{k}, \quad T_1 > T,$$

где  $T, T_1$  – соответственно периоды свободных и затухающих колебаний (рис. 3)

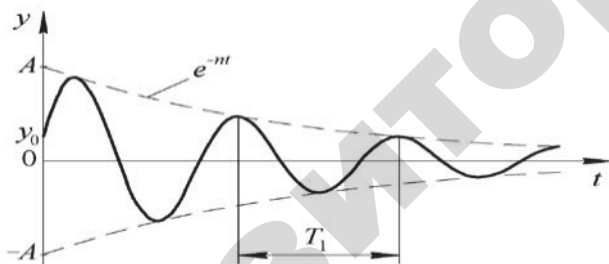


Рисунок 3. Процесс затухания колебаний

Анализ выражения (14) показывает, что движение носит затухающий, колебательный характер. Инфинитное движение точки на фазовой плоскости показано на рис. 4.

*Второй случай* (большого сопротивления)

$$n > k; \quad k_2 = \sqrt{n^2 - k^2}; \quad \delta_{1,2} = -n \pm k_2, \quad (16)$$

где  $k_2$  – круговая частота затухающих колебаний.

Тогда решение уравнения (10) будет иметь вид

$$y(t) = e^{-nt} (C_3 e^{k_2 t} + C_4 e^{-k_2 t}), \quad (17)$$

где  $C_3$  и  $C_4$  – постоянные интегрирования.

Значит, материальная точка совершает затухающее неколебательное движение (рис. 5).

*Третий случай* (граничный)

$$n = k; \quad \delta_{1,2} = -n. \quad (18)$$

Решение имеет вид

$$y(t) = e^{-nt} (C_5 t + C_6), \quad (19)$$

где  $C_5$  и  $C_6$  – постоянные интегрирования.

Материальная точка также совершает затухающее неколебательное движение. Поведение кривых  $y$  в зависимости от времени  $t$  в решениях (17) и (19) зависит от начальных условий [1-4].

Анализ приведенных исследований показывает эффективность демпфирующего элемента в гашении колебаний и необходимость его использования в конструкциях опрыскивателей. Напряжения, возникающие в штанге, будут носить релаксационный характер, соответствующий упруговязкой модели Максвелла.

3. В полевых условиях в силу неровности поверхности поля, а также силы ветра и других возмущающих факторов штанга подвергается внешнему воздействию. В этом случае уравнение колебаний при отсутствии демпфирующего устройства может иметь вид [1-4]

$$m\ddot{y} + cy = Q \sin pt,$$

или

$$\ddot{y} + k^2 y = P_0 \sin pt, \quad (20)$$

$$\text{где } P_0 = \frac{Q}{m};$$

$p$  – частота возмущающей силы.

Решением уравнения (20) будет равенство в виде

$$y = y_1 + y_2,$$

где  $y_1$  – общее решение уравнения без правой части,  $y_2$  – частное решение уравнения.

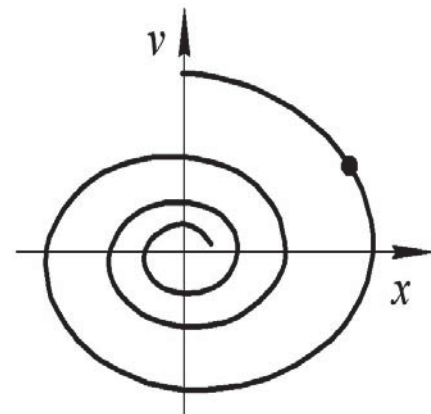


Рисунок 4. Затухающее движение на фазовой



Рисунок 5. Затухающее неколебательное движение

Согласно равенству (3), имеем

$$y_1 = A \sin(kt + \phi_0). \quad (21)$$

Будем искать решение  $y_2$  в виде

$$y_2 = a \sin pt, \quad (22)$$

где  $a$  – постоянная величина, которую надо подобрать так, чтобы равенство обратилось в тождество.

Подставляя  $y_2$  и его вторую производную в уравнение (20), имеем:

$$-p^2 a \sin pt + k^2 a \sin pt = P_0 \sin pt. \quad (23)$$

Это равенство будет выполняться при любом  $t$ , если  $a(k^2 - p^2) = P_0$  или

$$a = \frac{P_0}{k^2 - p^2}. \quad (24)$$

Таким образом, искомое частное решение будет

$$y_2 = \frac{P_0}{k^2 - p^2} \sin pt. \quad (25)$$

Так как  $y = y_1 + y_2$ , то общее решение имеет окончательно вид

$$y = A \sin(kt + \phi_0) + \frac{P_0}{k^2 - p^2} \sin pt. \quad (26)$$

Решение показывает, что колебания точки штанги складываются в этом случае из колебаний с амплитудой  $A$  (зависящей от начальных условий) и частотой  $k$ , и колебаний с амплитудой  $a$  (не зависящей от начальных условий) и частотой  $p$ , вынужденных колебаний.

Как видим, амплитуда колебаний зависит от частоты возмущающей силы и частоты собственных колебаний.

Подбирая различные  $p$  и  $k$ , можно получить вынужденные колебания точек штанги с разными амплитудами. Если величина  $p$  близка к  $k$ , то амплитуда колебаний становится очень большой. При  $p \gg k$ , амплитуда колебаний становится очень малой (практически близка к нулю).

Наиболее опасным для колебаний штанги является случай, когда частота возмущающей силы равна частоте собственных колебаний  $p = k$  – явление резонанса. Амплитуды вынужденных колебаний при резонансе будут со временем неограниченно возрастать (рис. 6), что может привести к существенной

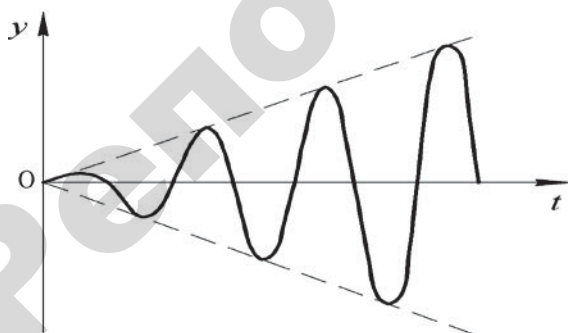


Рисунок 6. Рост амплитуды при резонансе

поломке несущей конструкции штанги.

4. Рассмотрим колебания штанги с учетом неровности поверхности поля, силы ветра и других возмущающих факторов, а также с учетом наличия демпфирующих устройств [1-3].

В качестве суммарной возмущающей силы можно выбрать силу, зависящую от времени в виде

$$Q(t) = Q_0 e^{ipt}, \quad (27)$$

где  $i$  – мнимая единица.

Тогда дифференциальное уравнение колебаний будет

$$m\ddot{y} + b\dot{y} + cy = Q_0 e^{ipt}. \quad (28)$$

Задавая решение уравнения в виде:  $y(t) = y_0 e^{ipt}$  и подставляя его в дифференциальное уравнение, получим алгебраическое уравнение для определения амплитуды вынужденных колебаний, получим

$$-mp^2 y_0 + ipby_0 + cy_0 = Q_0. \quad (29)$$

Разделим его на массу, получим

$$-p^2 y_0 + ip2ny_0 + k^2 y_0 = \frac{Q_0}{m}. \quad (30)$$

Откуда амплитуда вынужденных колебаний

$$A = y_0 = \frac{Q_0}{m(k^2 - p^2 + ip2ny_0)}. \quad (31)$$

Штанга колеблется с амплитудой  $A$  и частотой возмущающей силы  $p$ . Анализ зависимости модуля амплитуды от частоты возмущающей силы показывает существенное влияние параметра сопротивления  $n$  на рост амплитуды: чем он выше, тем меньше амплитуда [1-4].

### Выводы

В статье обоснован выбор математических моделей для описания колебательных процессов штанги сельскохозяйственного опрыскивателя при различных его конструкциях и условиях эксплуатации.

### СПИСОК ИСПОЛЬЗОВАННОЙ ЛИТЕРАТУРЫ

1. Пановко, Я.Г. Введение в теорию механических колебаний / Я.Г. Пановко. – М.: Наука, 1980. – 272 с.
2. Тарг, С.М. Курс теоретической механики: учеб. для втузов / С.М. Тарг. – М.: Высш. шк., 1986. – 416 с.
3. Чигарев, А.В. Курс теоретической механики / А.В. Чигарев, Ю.В. Чигарев. – Мн.: ООО «Новое время», ООО «ЦУПЛ», 2010. – 398 с.
4. Чигарев, А.В. Теоретическая механика. Решение задач: учеб. пос. / А.В. Чигарев, Ю.В. Чигарев, И.С. Крук. – Минск: ИВЦ Минфина, 2016. – 478 с.
5. Кошляков, В.П. Уравнения математической физики / В.П. Кошляков. – М.: Наука. – 576 с.

ПОСТУПИЛА В РЕДАКЦИЮ 11.04.2016